

## (42) 大背部発破によるトンネル上半施工の動的挙動

神戸大学 大学院 学〇高谷 富也  
神戸大学 工学部 正 北村 泰寿  
神戸大学 工学部 正 梶井 春輔

### 1. まえがき

上部半断面先進掘削工法の施工過程において、大背部掘削に使用する発破はトンネル上半施工に対して安全に実施されているが、発破による上半施工の振動性状を解析的に評価した例は見当たらない。筆者らは、大背部発破による上半施工および大背部地盤の振動速度の測定を行った<sup>1)</sup>。本文は、簡単な解析モデルを用いて大背部発破による上半施工の振動性状を解析的に評価した。

### 2. 測定現場の概要

測定を実施したトンネルの上かぶり厚は約200mで、現場は新鮮な花崗閃緑岩からなり、弾性波速度は約4.7 km/secである。トンネル断面の換振器の取り付け位置は図-1に示すとおりである。

第1回目の発破については、断面AA'において上半施工および大背部地盤の振動を同時測定を行い、第2回目および第3回目の発破については、同図に示すように断面AA'より10m離れた断面BB'の位置に速度計のみを移動した。図-2は大背部の標準発破パターンを示したもので、発破諸元は表-1に示す。なお、穿孔長は1.2m、各段は2穿孔、1孔当たりの薬量は0.3kg(段当たりの薬量0.6kg)である。

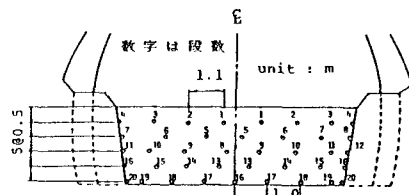


図-2 大背部標準発破パターン

### 3. 測定結果と考察

発破各段に対応する波群中の最大振幅(振動速度)を読み取り、測定結果の整理を行った。なお、本文では、速度についてのみ整理を行った。加速度についても文献に譲る。

図-3は断面AA'における施工および地盤の振動速度(測定成分⑤～⑩および⑪～⑯)と比較したもののである。発破点より、約2.4mの断面AA'では施工速度は地盤速度に比べて極めて小さくなつてあり、ピークを示す段数も異なる。一方、BB'断面では、図-4、5より施工と地盤の速度差は小さくなる傾向にあり、またピーク位置もほぼ一致している。表-2は各発破の全段における最大値のみを示し

表-1 発破諸元

爆薬	2号模 0.1kg + スラリー 0.2kg
電気雷管	D S 1～20段
断面積	18.4 m <sup>2</sup>
岩質	花崗閃緑岩(Ch～B級)
1発進行	1.2 m
破碎量	22.08 m <sup>3</sup>
穿孔数	40孔
爆薬使用量	12.0 kg

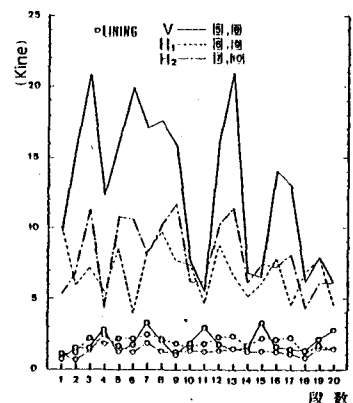


図-3 地盤速度と施工速度(第1回目)

たものである。これより、崩壊点付近では復工と地盤の異なる振動をするが、崩壊点より遠ざかるにつれて两者は一体となる振動の傾向にあると考えられる。崩壊点付近では地盤速度が大きいにとかかわらず、復工速度が小さくなっていることは従来大崩壊が上半復工に損傷を与えることなく安全に実施されていいる事実と照合するものであろう。なお、図-3の速度計8の最大値が20 kine程度になる。といふが、これについては建築物の応答の直線性の面から多少問題はある。

#### 4. 解析手法

図-6に示すように、上半復工と半無限弾性体上に置かれた有限板を考え、半無限弾性体内部の加振源による有限板の振動を考える。板剛度が大きくなり、矩形底面をもつ剛体と考えられる場合には、底面下の接触圧分布を求める問題としていくつかの研究成果が得られている。

本解析では、接触面を有限個の要素に分割し、要素内での接触圧を一定として、影響係数の概念によて変位を重ね合せる。そして、接触面における変位の境界条件から、各要素の未知接触圧に関する連立一次方程式を解く問題に帰着せらる<sup>3)</sup>。本解析では、有限板にFEMを適用し、一般によく知られていう変位関数<sup>4)</sup>を用いた剛性マトリックスと質量マトリックスを利用した。

正弦波外力による系全体の振動方程式は、時間項を省略して次のようになる。

$$-\frac{ab\omega_p^2\rho_p\omega^2}{25200}[M]\{\delta\} + \frac{D}{75ab}[K_p]\{\delta\} + \{Q\} = \{P\} \quad (1)$$

ここで、 $a, b$ は分割要素の $x, y$ 方向の辺長、 $\rho_p$ はそれぞれ板の厚さおよび密度である。また、 $\omega$ は内部加振力の振動数、 $D$ は板剛度( $=E_p\kappa/12(1-\nu_p^2)$ )、 $E_p, \kappa_p$ はそれぞれ板の弾性係数およびボアソン比である。 $\{\delta\}$ は節点変位、 $\{Q\}$ は節点反力、 $\{P\}$ は節点外力で、それぞれ鉛直成分と回転成分に分け次式のようになる。

$$\begin{aligned} \{\delta\} &= \{w_1, w_2, \dots, b\theta_{x1}, b\theta_{x2}, \dots, a\theta_{y1}, a\theta_{y2}, \dots\}^T \\ \{Q\} &= \{Q_{z1}, Q_{z2}, \dots, T_{x1}/b, T_{x2}/b, \dots, T_{y1}/a, T_{y2}/a, \dots\}^T \\ \{P\} &= \{P_{x1}, P_{x2}, \dots, M_{x1}/b, M_{x2}/b, \dots, M_{y1}/a, M_{y2}/a, \dots\}^T \end{aligned} \quad (2)$$

ここで、 $w_i, \theta_{xi}, \theta_{yi}$ は節点 $i$ のたわみおよび回転角、 $Q_{zi}, T_{xi}, T_{yi}$ は節点 $i$ に働く反力および抵抗モーメント、 $P_{xi}, M_{xi}, M_{yi}$ は節点 $i$ に作用する外力および外モーメントである。

次に、節点に働く反力をつけて、抵抗モーメントを0として、鉛直方向の反力をみを考える。このとき、板と半無限弾性体との結合の状態を模式的に示すと図-7<sup>5)</sup>のようである。つまり、周囲に示すように、本解析では

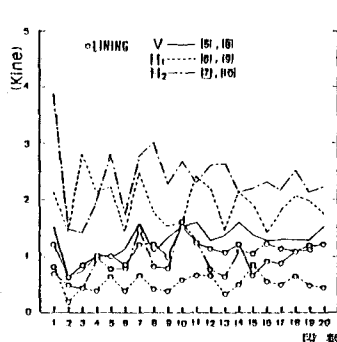


図-4 地盤速度と復工速度(第2回目)

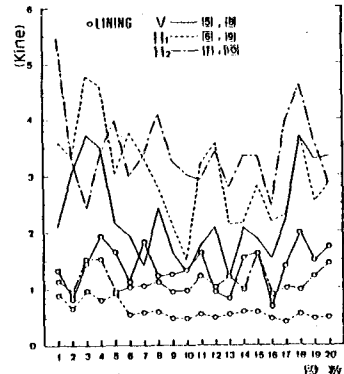


図-5 地盤速度と復工速度(第3回目)

表-2 各崩壊の最大振動速度の比較

崩壊回数	測定位置	振動速度(kine)			復工と地盤の比較		
		V 5	H 6	H 7	V 8	H 9	H 10
第1回目	2.4 m	3.32	2.48	2.45	20.92	10.13	11.44
第2回目	11.2 m	1.53	0.87	1.17	1.59	2.83	3.08
第3回目	10.0 m	1.84	0.97	1.54	3.74	4.78	5.46

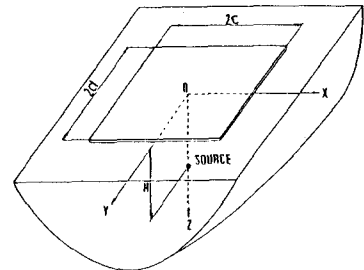


図-6 座標系

板の節点と地盤の分割要素の中央点を直接一致させた方法を利用する。

影響係数の概念を用いると、節点変位の又は向成分と節点反力の又は向成分は次式で結びつけられる。

$$\{w\} = \frac{(1-\mu_s^2)\lambda}{\pi E_s d} [F] \{Q_s\} \quad (3)$$

ここで、 $\lambda = d/c$ ,  $E_s$ ,  $\mu_s$ は地盤の弾性係数およびボアン比である。また、 $[F]$ は無次元影響係数マトリックスであり、そつ詳細については文献2)に譲る。

式(2)を変形して式(1)に代入すれば、次式を得られる。

$$[-\frac{\mu \bar{a} \bar{b}}{25200} [M] + \frac{\lambda^2}{15 \bar{a} \bar{b}} [K_p] + \mu [K_s]] \{\Delta\} = \{\bar{P}\} \quad (4)$$

ここで、 $\bar{a} = a/c = a\lambda/d$ ,  $\bar{b} = b/d$ ,  $\{\Delta\} = \{S\}/d$ ,  $\{\bar{P}\} = \mu [K_s] \{\bar{U}\}$ ,  $\{\bar{U}\} = \{U\}/d$

$$\mu = 12\pi \frac{1-\mu_s^2}{1-\mu_s^2} \frac{E_s}{E_p} \left(\frac{d}{\lambda}\right)^3, \quad \lambda = \frac{1-\mu_s}{2\pi} \frac{f_p}{f_s} \frac{\pi}{d} \left(\frac{\omega d}{f_s}\right)^2, \quad [K_s] = \begin{bmatrix} [F] & 0 \\ 0 & -\frac{1}{d} \end{bmatrix}$$

また、 $f_p$ は地盤の横波の伝播速度であり、 $f_s$ は地盤の密度である。 $\{\bar{U}\}$ は半無限弾性体内部の点加振力による鉛直変位であり、次式のように求められ<sup>3)</sup>。

$$U_s = -\frac{(1+\mu_s) Q_s}{2\pi E_s H} C_0 \int_0^\infty \left[ \frac{\xi W_1(\xi)}{F(\xi)} + \frac{\xi W_2(\xi)}{\mu F(\xi)} + \xi W_3(\xi) \right] J_0(\xi a_0) d\xi \quad (5)$$

$$\text{ただし}, \quad W_1(\xi) = \alpha \left\{ (2\xi^2 - 1) e^{-\alpha C_0} - 2\xi^2 e^{-\alpha C_0} \right\} \left\{ (2\xi^2 - 1) e^{-\alpha b_0} - 2\xi^2 e^{-\alpha b_0} \right\}$$

$$W_2(\xi) = \xi^2 \left\{ 2\alpha \beta e^{-\alpha C_0} - (2\xi^2 - 1) e^{-\alpha C_0} \right\} \left\{ 2\alpha \beta e^{-\alpha b_0} - (2\xi^2 - 1) e^{-\alpha b_0} \right\}$$

$$W_3(\xi) = \alpha e^{\pm(b_0-C_0)\alpha} - \xi^2/\beta e^{\pm(b_0-C_0)\beta}, \quad F(\xi) = (2\xi^2 - 1)^2 - 4\xi^2 \alpha \beta \quad (\text{Rayleigh関数})$$

$$\alpha = \sqrt{\xi^2 - \varepsilon^2}, \quad \beta = \sqrt{\xi^2 - 1}, \quad \varepsilon = \sqrt{(1-2\mu_s)/2(1-\mu_s)}$$

また、 $a_0 = \frac{\omega r}{f_s}$ ,  $b_0 = \frac{\omega R}{f_s}$ ,  $C_0 = \frac{\omega H}{f_s}$ ,  $J_0(\cdot)$ は第0次のBessel関数である。なお、上式中の符号はそれが載荷面より上の部分および下の部分に対応していることを表す。

本解析用いる弾性体表面の鉛直変位は、上式に $\xi=0$ を代入すれば容易に得られる。

## 5. 数値計算結果と考察

本解析では、図-8に示すように第3象限と第4象限( $x$ ,  $y$ 平面)に有限板があると考えて、 $y$ 軸の直下に上下点加振源を設定する。また、半無限弾性体内部の上下点加振力による板と地盤の鉛直変位の数値計算結果は次式の形で整理し、無次元振動数の実部 $f_r$ と虚部 $f_i$ および絶対値 $\sqrt{f_r^2 + f_i^2}$ に関して板と地盤の比較を行う。

$$W = \frac{(1+\mu_s) Q_s}{2\pi E_s H} (f_r + i f_i) \quad (6)$$

本文の数値計算は無次元化した式で行うため、計算条件は板と地盤のボアン比 $\mu_s$ 、 $\mu_s$ と $\mu_p = \mu_s = 0.2$ 、密度比 $f_p/f_s$ と $f_p/f_s = 1.0$ 、 $R/d = 0.2$ 、 $H/d = 1/3$ 、 $d/c = 1/5$ とし、無次元加振振動数 $\frac{\omega d}{f_s}$ と $\frac{\omega d}{f_s} = 0.5$ 、 $1.0$ 、 $1.5$ 、 $2.0$ の値に変化させた。また、板と地盤の剛性比 $\mu$ は $\mu = 1000$ （板と地盤の弾性係数比 $E_s/E_p = 1/5$ ）とし、 $\mu$ は $\mu = (1-\mu_s)(\frac{\omega d}{f_s})^2 \mu / 10\pi$ として、 $\frac{\omega d}{f_s}$ 、 $\mu$ の値を代入して求めた。なお、本解析では $y$ 軸に関する対称性が考慮できため、計算結果はすべて第4象限についてのみ図示した。

図-9は無次元加振振動数 $\frac{\omega d}{f_s}$ の変化による板と地盤の鉛直変位を実部と虚部および絶対値についての比較を

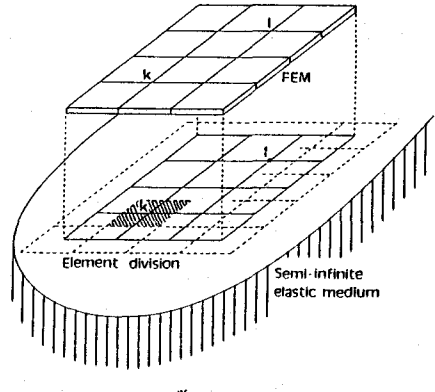


図-7 弾性体上の板モデル

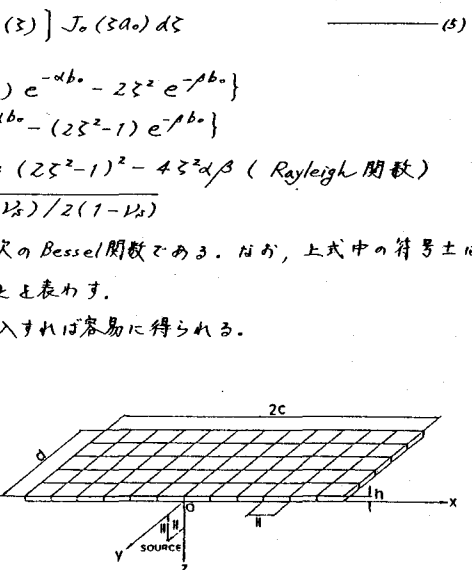


図-8 解析モデルと座標系

示したものである。ところで、地盤の維持の伝播速度  $V_p \approx 4.7 \text{ km/sec}$  より横波の伝播速度  $V_s$  が  $2.88 \text{ km/sec}$  と求まり、 $d = 2.25 \text{ m}$  ( $\lambda = 0.45 \text{ m}$ ) とすれば、無次元加振振動数  $\frac{\omega d}{V_s} = 0.5$ , 1.0, 1.5, 2.0 はそれぞれ  $f = 100 \text{ Hz}$ ,  $200 \text{ Hz}$ ,  $300 \text{ Hz}$ ,  $400 \text{ Hz}$  に相当している。また、横波の波長を  $\lambda$  とすれば、無次元加振振動数  $\frac{\omega d}{V_s} = 0.5, 1.0, 1.5, 2.0$  の場合はそれぞれ  $0.45 \lambda$ ,  $0.8 \lambda$ ,  $1.2 \lambda$ ,  $1.6 \lambda$  の距離までの板と地盤の鉛直変位挙動を調べたことになる。これらの図より、加振源近傍においては地盤が大きく振動していながらかわらず、板の振動は小さく、加振源より離れたところについて両者は同じ大きさの振幅で振動していることが分かる。これは、图-3, 4, 5 に得られており測定結果を裏付けているものと考えられる。しかしながら、本解析に用いた解析モデルおよび計算条件は限られたものであるため、今後さらに解析モデルの検討ならびに各パラメータを変化させて、板と地盤の変位挙動について検討を進める必要があると思われる。

#### 参考文献

- 1) 横井春輔, 高谷富也, 清水則一, 北村泰寿: 大背斜巣破によるトンネル上半復工の振動測定, 第5回国学術講演会, III-69, 1983.
- 2) 北村泰寿, 横井春輔: 刚基礎底面の複素剛性に関する一解法, 土木学会論文報告集, No. 290, pp. 43~52, 1979.
- 3) 北村泰寿, 横井春輔: 半無限弾性地盤上における4辺自由板の振動解析, 土木学会論文報告集, No. 297, pp. 59~69, 1980.
- 4) Zienkiewicz, O. C.: The Finite Element Method (Third Edition), McGraw-Hill, 1975.
- 5) 高谷富也, 北村泰寿, 横井春輔: 半無限弾性体内部の調和型点加振力による変位の解析, 建設工学研究所報告, No. 24, pp. 33~54, 1982.

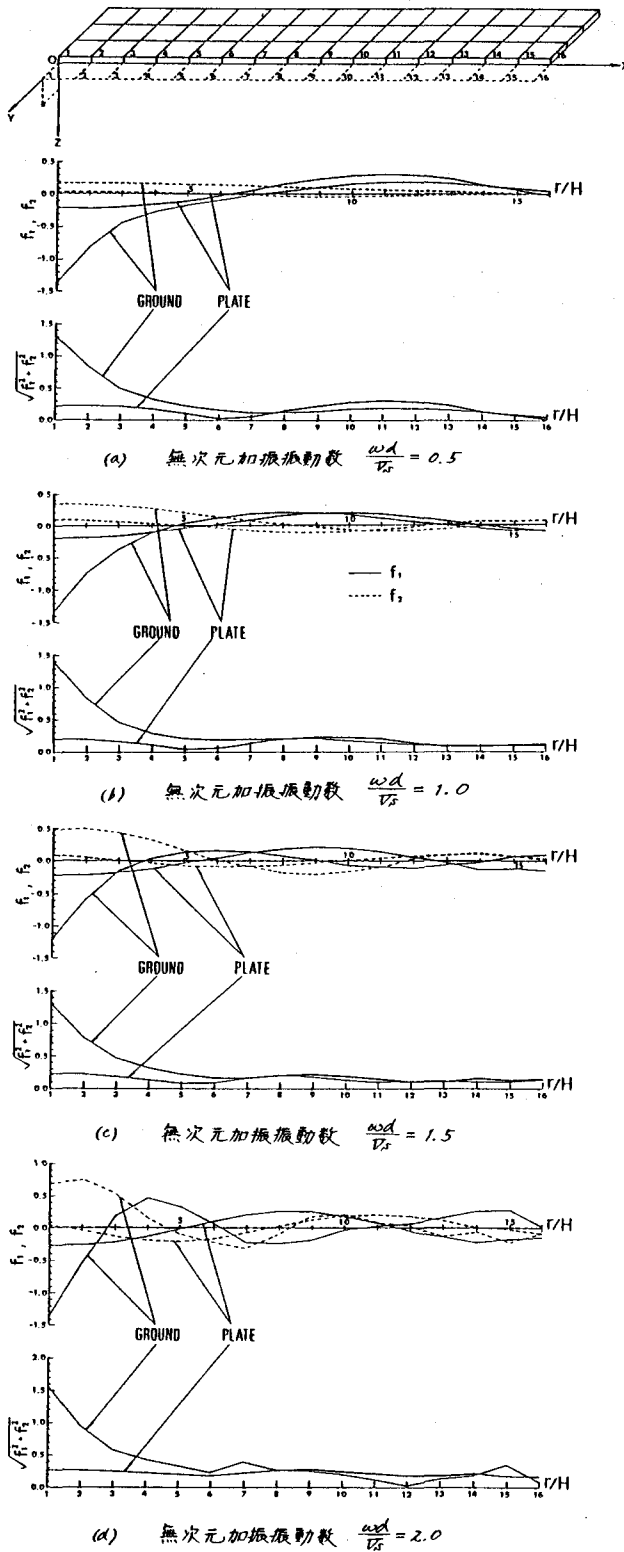


図-9 地盤と板との鉛直変位の比較

(42) Dynamic Behaviours of Tunnel Lining for Upper-Half  
due to Blasting of Bench Excavations

by Tomiya Takatani\*  
Yasutoshi Kitamura\*\*  
Shunsuke Sakurai\*\*\*

SUMMARY

In the conventional tunnelling method of upper-half headings, few works concerning the vibration characteristics of linings for upper-half due to blasting have been done so far. The authors carried out the experiment of measuring the vibration of concrete linings for upper-half as well as the surrounding ground due to the blasting of bench excavations. The following results are obtained from the experiments.

In the vicinity of blasting point, the particle velocity of the concrete lining is smaller than that of the ground, while both the velocities tend to be identical as a blasting point locates far away from the measuring points.

In order to analyze the problem theoretically, the authors assumed as a simple vibration model of linings a free rectangular plate resting on a semi-infinite elastic medium. The plate is excited by a harmonic vibration source locating underneath the plate. The following results were obtained from numerical analyses ( FEM ).

The vertical displacements of the semi-infinite elastic medium become larger than those of the plate in the vicinity of excitation, while they tend to be the same to those of the plate as the vibration source locates far away from the reference points.

It is understood that these computer results can well demonstrate the experimental results.

---

\* Graduate Student of Kobe University

\*\* Associate Professor of Kobe University

\*\*\* Professor of Kobe University